

# سرعت بحرانی مذاب در ریخته گری آلیاژهای منیزیم (AZ91)

علیرضا میرک<sup>i</sup> مهدی دیواندری<sup>ii</sup>، سید محمد علی بوترابی<sup>iii</sup>

چکیده

این پژوهش مبتنی بر ارائه مفهوم سرعت بحرانی مذاب در ریخته گری آلیاژهای منیزیم است. اثر سرعت ورود مذاب به قالب بر روی خواص وسلامت قطعات ریختگی در آلیاژهای آلومینیم گزارش شده است. آلیاژهای منیزیم بدلیل نرخ اکسیداسیون بالا، نسبت به تلاطم سطحی در هنگام ریخته گری حساسند. در اثر تلاطم سطحی مذاب در لحظه ورود به محفظه قالب، فیلم های اکسید سطحی می‌توانند وارد مذاب شده و به کاهش خواص مکانیکی قطعات ریختگی منجر شوند. آزمایشات شامل ریخته گری صفحات به ضخامت ۱۰ mm از آلیاژ AZ91 در قالب کف ریز و در سرعت های مختلف ورود مذاب به قالب است. برای مشاهده مورفولوژی جت مذاب در لحظه ورود به قالب و رفتار پر شدن مذاب از تکنیک تصویر برداری ویدیویی استفاده شد. به منظور مقایسه خواص مکانیکی، آزمایش خمیش سه نقطه‌ای بر روی نمونه‌ها در دو جهت افقی و عمودی انجام شد. نتایج نشان می‌دهد که مرز شروع تلاطم سطحی برای ریخته گری آلیاژ منیزیم (AZ91) هنگامی است که سرعت ورود مذاب به محفظه قالب حدود ۰/۳ m/s بوده، که سرعت بحرانی است. در سرعت‌های کمتر از سرعت بحرانی، جت مذاب مشاهده نشده و مذاب به آرامی وارد قالب می‌شود. با افزایش سرعت ورود مذاب، جبهه حرکت مذاب قارچی شکل و در سرعت‌های بالاتر به شکل فواره‌ای همراه با پاشش به اطراف تغییر کرده و موجب کاهش خواص مکانیکی تا ۵۰٪ می‌شود.

کلمات کلیدی:

سرعت بحرانی، خواص مکانیکی، فیلم های اکسید، آلیاژ منیزیم (AZ91).

## Critical Gate Velocity in Casting Magnesium Alloys

A. R. Mirak, M. Divandari, S. M. A. Boutorabi

### ABSTRACT:

The concept of critical gate entry velocity was investigated in AZ91 magnesium alloy. The effect of in-gate velocity on the soundness and the mechanical properties of aluminum castings has been reported. Due to surface turbulence resulted by exceeding from the critical velocity and the entrainment of oxide film, mechanical properties and the performance of casting might be reduced significantly. Experimental work consisted of casting of plates, 10×140×200 mm of the AZ91 alloy in resin sand mold. The molten metal was introduced into the mold cavity at different gate velocities via changing the dimensions of a bottom gated filling system. Video recording was used to evaluate the possibility of the surface turbulence and the direct observation of the morphology of entrance of the melt jetted into the mold cavity at different velocities. Bend tests were carried out to investigate the effect of gate velocity on the mechanical properties of the castings in vertical and horizontal directions. Some results indicated that

<sup>i</sup> دانشجوی دکتری مهندسی مواد، دانشکده مهندسی مواد و متالورژی، دانشگاه علم و صنعت ایران mirak@mail.iust.ac.ir

<sup>ii</sup> استادیار دانشکده مهندسی مواد و متالورژی، دانشگاه علم و صنعت ایران

<sup>iii</sup>. استاد دانشکده مهندسی مواد و متالورژی، دانشگاه علم و صنعت ایران

critical in-gate velocity for magnesium alloys is approximately 0.3 m/s. Laminar fluid flow was observed at and below this velocity while at higher speed the morphology was changed into a mushroom shape and fountain shape of flow was noticed followed by about 50% decrease in the mechanical properties.

#### KEYWORDS:

Critical Velocity, Magnesium Alloy, Mechanical Properties, Oxide Film Defects.

برای اولین بار مفهوم تلاطم سطحی را با عدد

ویر بیان کرد[۴] و نشان داد که عدم تلاطم سطحی مذاب هنگامی رخ می‌دهد که عدد ویر بین  $2/0.8$  الی  $2/0.8$  باشد. عدد ویر، عدد بدون بعدی است که شرایط تلاطم سطحی را تعریف می‌کند.

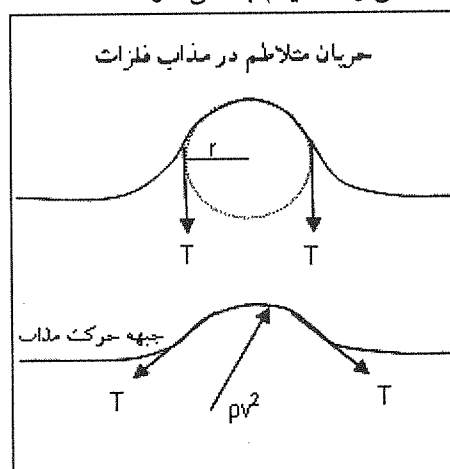
$$We = \frac{v^2 pr}{\gamma} \quad (1)$$

که در آن  $v$  سرعت سیال (m/s) ،  $p$  چگالی ( $\text{Kg/m}^3$ ) ،  $r$  شعاع جریان و  $\gamma$  تنفس سطحی ( $\text{N.m}^{-1}$ ) است. در صورتی که نیروهای وارد بر مذاب در حال حرکت را در نظر بگیریم (شکل ۲)، فشار اینرسی یا نیروی پیش برنده مذاب،  $\rho v^2$  دانسته و  $v$  سرعت مذاب) و فشار مانع جریان یا کشش سطحی  $\frac{2\gamma}{r}$ ،  $T = \frac{2\gamma}{r}$  شعاع هلاله جبهه مذاب و  $\gamma$  کشش سطحی مذاب) است. اگر فشار اینرسی از فشار تنفس سطحی بیشتر شود، سطح مذاب دچار تلاطم می‌شود[۴].

$$\rho v^2 = \frac{2\gamma}{r} \quad (2)$$

$$v = \sqrt{\frac{2\gamma}{\rho r}} \quad (3)$$

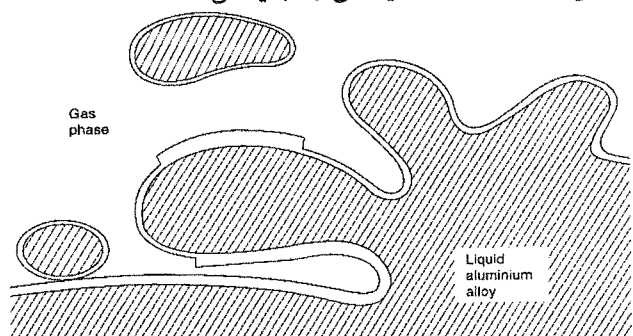
این فرمول تعریفی از سرعت بحرانی مذاب ارائه می‌دهد که در بالاتر از آن با غلبه بر نیروی تنفس سطحی، سطح مذاب شکسته شده و تلاطم سطحی رخ می‌دهد. اهمیت این فرمول از این جهت است که سرعت بحرانی فقط به خواص فیزیکی آلیاژ مذاب (تنفس سطحی و دانسته) بستگی دارد.



شکل (۲): بیان نیروهای وارد بر مذاب در حال حرکت

#### ۱- مقدمه

اثر سرعت ورود مذاب به حفره قالب در آلیاژهای مختلف بر خواص و سلامت قطعات ریختگی در سالهای اخیر مورد توجه قرار گرفته است[۱-۳]. Campbell نشان داد که یک سرعت بحرانی برای تمام مذاب فلزات وجود دارد که در بالاتر از آن تلاطم سطحی رخ می‌دهد[۴]. Yang و Campbell [۶] اثبات کردند که طراحی نامناسب سیستم راهگاهی موجب افزایش سرعت مذاب و تلاطم سطحی می‌شود. آلیاژهای منیزیم بدلیل نرخ اکسیداسیون بالا، نسبت به تلاطم سطحی در هنگام ریخته گری حساسند. در اینصورت فیلم‌های اکسید سطحی بر روی سطح مذاب، همانند شکل ۱ به صورت دو لایه تا می‌خورند. تا خوردنگی فیلم اکسید با حبس گاز یا هوا همراه بوده و منبع مناسبی برای تشکیل عیوب ریختگی از جمله مک‌های گازی و انقباضی است[۵]. لایه‌های اکسید مورد بحث هیچگاه بهم نمی‌پیوندند و تشکیل ترک شناور در قطعه را میدهند، که تا پایان انجاماد در قطعه باقی می‌مانند. این یک خطر واقعی است که قطعات ریختگی را تهدید می‌کند.



شکل (۱): شماتیک تاخوردنگی فیلم سطحی بر روی مذاب در اثر تلاطم سطحی [۱]

نشانه ورود آخالهای اکسیدی به مذاب می‌تواند ناشی از شارژ یا مواد اولیه، سرباره، عدم دقت کافی در فرایند ذوب، عملیات کیفی مذاب، ارتفاع باربریزی و در اثر تلاطم سطحی هنگام ورود به محفظه قالب باشد[۷-۸]. ریخته گری آلیاژهای منیزیم بواسطه تشکیل فیلم اکسید سطحی متخلخل و غیر محافظ مشکل است، به طوری که در صورت عدم استفاده از اتمسفر محافظ، کل مذاب اکسید شده و می‌سوزد[۹-۱۰]، بنابراین خطر وجود عیوب فیلم‌های اکسید در منیزیم اهمیت بیشتری دارد.

مطابق قانون پیوستگی انرژی، دبی حجمی خروجی از پای راهگاه برابر دبی حجمی خروجی از راهباره است. بر این اساس به منظور تغییر سرعت ورود مذاب به داخل محفظه قالب، سطح مقطع‌های راهباره، در آزمایشات مختلف،  $\text{mm}^2$  ۱۰۰، ۲۰۰، ۳۰۰ و ۴۰۰ در نظر گرفته شد. بنابراین خواهیم داشت

$$A_1 \times V_1 = A_2 \times V_2 \quad (4)$$

در این رابطه به ترتیب  $A_1$  و  $A_2$  سطح مقطع‌های پای راهگاه و راهباره بوده که در شکل ۳ نشان داده شده است و  $V$  نیز سرعت مذاب در این دو مقطع است. سرعت در پای راهگاه عبارت است از:

$$V_1 = \sqrt{2ghe} \quad (5)$$

$he$  ارتفاع موثر است و نیروی محرکه برای حرکت مذاب که عبارت است از :

$$he = 210 + 20 - 40 = 190 \text{ mm}$$

که در آن ارتفاع مذاب در حوضچه باریز (۲۰ mm)، ارتفاع راهگاه (۲۱۰ mm) و ارتفاع راهباره (۴۰ mm) است. بنابراین از معادلات ۴ و ۵ خواهیم داشت:

$$V_2 = \frac{A_1}{A_2} \sqrt{2ghe} \quad (6)$$

یک شیشه دوبل به ضخامت ۶ mm که کتاره‌های آن علامت گذاری شده بود، جهت رویت مورفولوژی جبهه مذاب درون قالب در سرعت‌های مختلف مذاب تعییه شد. از یک دوربین فیلم برداری مدل Sony-HC30-mini DV برای تصویر برداری از حرکت مذاب استفاده شد. سپس با استفاده از نرم افزار کامپیوتری، هر ثانیه از فیلم به ۲۵ فریم تقسیم گردید، بنابراین فاصله زمانی بین هر دو فریم  $4/00$  ثانیه است. سرعت واقعی مذاب ورودی از راهباره بر حسب فاصله طی شده توسط مذاب در طول کanal راهباره و زمان طی شده اندازه گیری شد. کلیه صفحات ریختگی تحت آزمایش رادیوگرافی X-ray گرفتند. برای اندازه گیری خواص مکانیکی، در کلیه شرایط ریخته گری، یک صفحه در جهت عمودی (در راستای راهباره) و یک صفحه در جهت افقی (عمود بر راهباره) تحت آزمایش خمین سه نقطه‌ای مطابق استاندارد ASTM-E290 قرار داده شد [۱۶].

سطوح شکست نمونه‌ها توسط میکروسکوپ الکترونی Philips X2500 (SEM) مدل مطالعه شدند. همچنین از نقاط مختلف سطوح شکست جهت آنالیز کمی از تکنیک EDX استفاده شد.

جدول ۱ نتایج حاصل از تحقیق تعدادی از محققین بر روی سرعت بحرانی را نشان می‌دهد.

جدول (۱): نتایج حاصل از تحقیق تعدادی از محققین بر روی سرعت بحرانی [۱۱-۱۳]، [۱]

محققین	آلیاژ	سرعت ورود مذاب m/s
Eastwood, Grube	Al-10Mg	0.5
Suzuki	Al	0.4
Runyoro, Campbell	Al	0.5
Halvaei, Campbell	Cu-10Al	0.37
Bahrinian, Boutorabi	Mg (ZK51)	0.5

اثر عیوب فیلم اکسید بر روی خواص مکانیکی قطعات ریختگی در آلیاژهای آلومینیوم توسط محققین بررسی شده است [۲]، [۱۴] Nyahamva و همکارانش [۱۵] اثر تلاطم سطحی بر روی استحکام خستگی آلیاژهای ریختگی آلومینیوم را مطالعه و نشان دادند که ترکهای خستگی از محل فیلم‌های اکسید آغاز می‌شوند. Green و Campbell [۲] اشاره کردند که طراحی سیستم راهگاهی نقش موثری بر استحکام کششی آلیاژ ریختگی Al7 Si-Mg دارد.

این پژوهش بر توصیف یک سری از آزمایشات برای تعیین سرعت بحرانی آلیاژهای منیزیم و اثر سرعت ورود مذاب به محفظه قالب بر خواص مکانیکی مرکز است.

## ۲- روش تجربی انجام کار

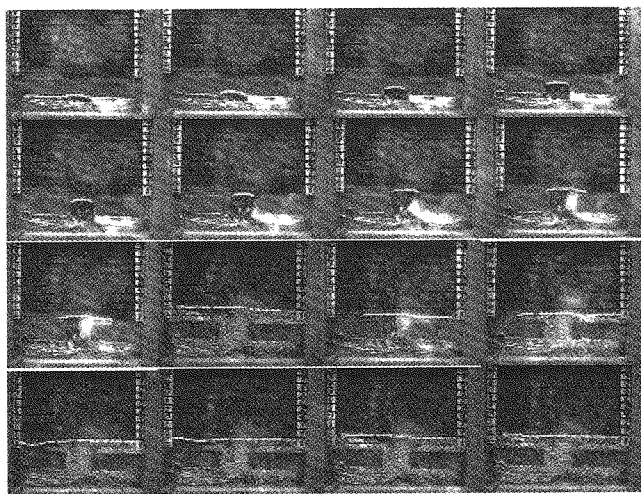
آلیاژ منیزیم مورد استفاده در این مطالعه AZ91 دارای ترکیب شیمیایی مطابق جدول ۲ است. مدل و سیستم راهگاهی مورد استفاده مطابق شکل ۳ طراحی شد.

جدول (۲): ترکیب شیمیایی آلیاژ مورد استفاده AZ91

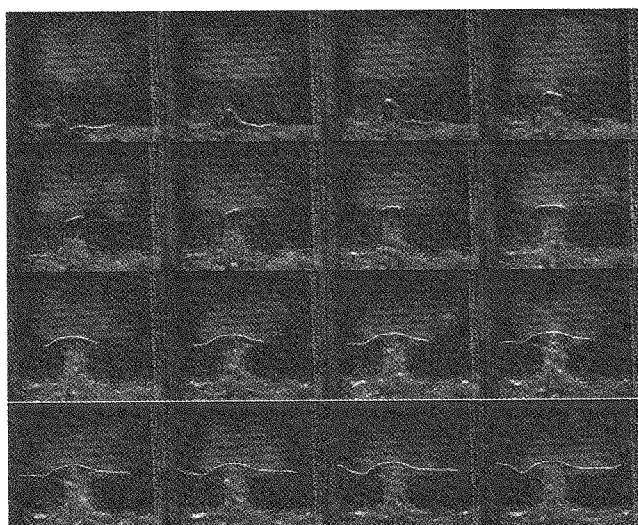
AZ91	Al	Mn	Zn	Mg
Wt%	8.7	0.5	0.1	Base

شکل (۳): شماتیک مدل و سیستم راهگاهی مورد استفاده

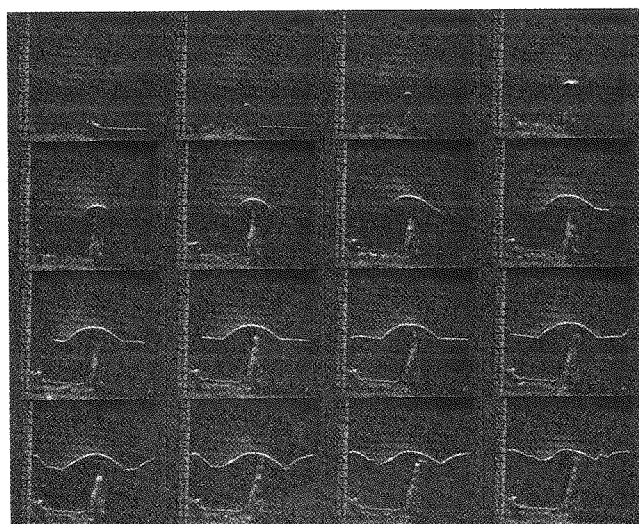
### ۳- نتایج



الف) تصاویر تجزیه شده از ذوب شماره ۱  
سطح مقطع راهباره  $400 \text{ mm}^2$



ب) تصاویر تجزیه شده از ذوب شماره ۲  
سطح مقطع راهباره  $300 \text{ mm}^2$

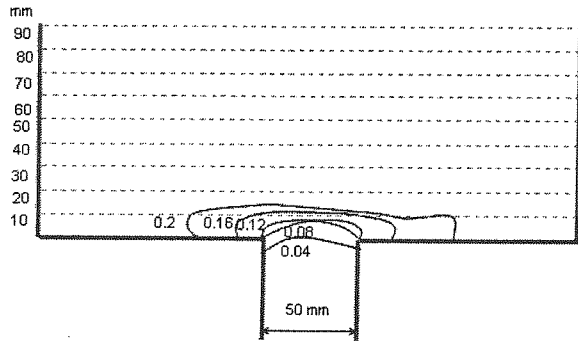


ج) تصاویر تجزیه شده از ذوب شماره ۳  
سطح مقطع راهباره  $250 \text{ mm}^2$

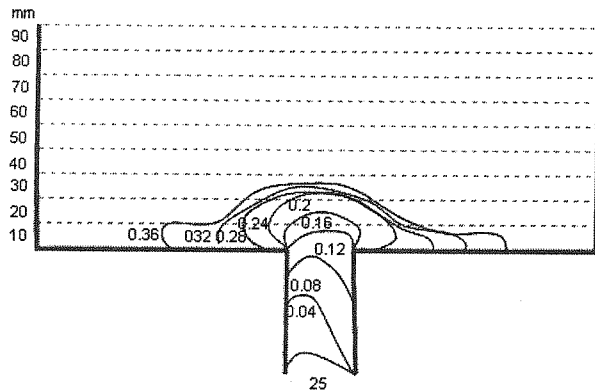
اطلاعات حاصل از ریخته گری صفحات در سرعت‌های مختلف ورود مذاب به محفظه قالب در جدول ۳ خلاصه شده است. سرعت واقعی از محاسبه سرعت متوسط مذاب در لحظه ورود به قالب تعیین و حداقل میزان ارتفاع جت مذاب در لحظه ورود به محفظه قالب برای هر سرعت اندازه گیری شد. تصاویر انتخاب شده از تجزیه فریم به فریم فیلم‌های تصویر برداری شده از جت مذاب به داخل قالب و نحوه پر شدن قالب در سرعت‌های مختلف ورود مذاب در شکل ۴ مشاهده می‌شود. شکل ۴-الف، تصاویر تجزیه شده از فیلم ریخته گری صفحات با سطح مقطع راهباره  $400 \text{ mm}^2$  را نشان می‌دهد سرعت ورود مذاب به محفظه قالب  $0.02 \text{ m/s}$  اندازه گیری شد. شکل ۴-ب، تصاویر تجزیه شده از ریخته گری صفحات با سطح مقطع راهباره  $300 \text{ mm}^2$  را نشان می‌دهد و سرعت ورود مذاب به قالب  $0.025 \text{ m/s}$  است. شکل ۴-ج، تصاویر تجزیه شده از ریخته گری صفحات با سطح مقطع راهباره  $250 \text{ mm}^2$  را نشان می‌دهد و سرعت ورود مذاب به قالب  $0.025 \text{ m/s}$  است. شکل ۴-د، تصاویر تجزیه شده از ریخته گری صفحات با سطح مقطع راهباره  $200 \text{ mm}^2$  را نشان می‌دهد و سرعت ورود مذاب به قالب  $0.05 \text{ m/s}$  است. شکل ۴-ح، تصاویر تجزیه شده از ریخته گری صفحات با سطح مقطع راهباره  $150 \text{ mm}^2$  را نشان می‌دهد و سرعت ورود مذاب به قالب  $0.13 \text{ m/s}$  است. تصاویر شکل ۵ شماتیکی از مورفولوژی ورود جت مذاب به داخل محفظه قالب در سرعت‌های مختلف را نشان می‌دهند.

جدول (۳): اطلاعات حاصل از ریخته گری صفحات

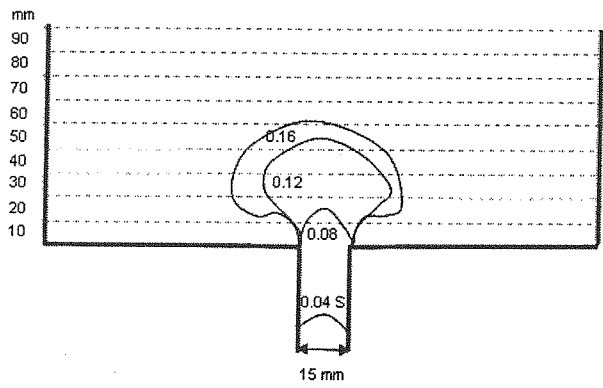
ردیف	ردیف	سرعت سطح مقطع راهباره ( $\text{mm}^2$ )	سرعت واقعی ( $\text{m/s}$ )	سرعت تثوری ( $\text{m/s}$ )	ماکزیمم ارتفاع jet مذاب (mm)	دبی جریان $\text{m}^3/\text{s} \times 10^{-4}$	ضریب تخلیه	عدد ویر
۱	۱	۴۰۰	۰/۰۲	۰/۰۵	۱۰	۶۰	۰/۰۴	۰/۰۲
۲	۲	۳۰۰	۰/۰۲۵	۰/۰۶۵	۱۵	۷۵	۰/۰۲۸	۰/۰۸۸
۳	۳	۲۵۰	۰/۰۲۵	۰/۰۸	۲۰	۷۵	۰/۰۴۳	۰/۰۷
۴	۴	۲۰۰	۰/۰۵	۱	۲۵	۱۰۰	۰/۰۵	۰/۰۵۴
۵	۵	۱۵۰	۱	۱/۳	۲۵	۱۳۵	۰/۰۷۰	۱/۰۵
۶	۶	۱۰۰	۱/۳	۲	۶۰	۱۳۰	۰/۰۶۵	۲۴



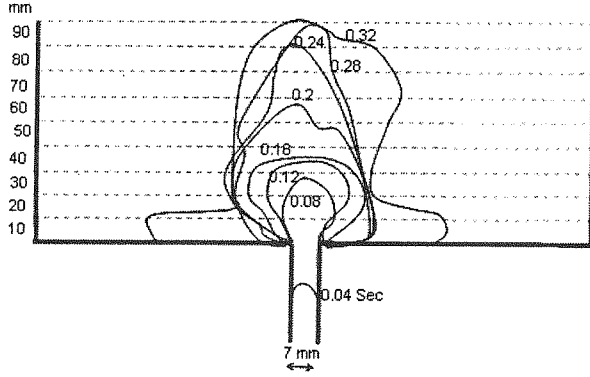
الف) سطح مقطع راهباره  $400 \text{ mm}^2$ , سرعت مذاب  $0.2 \text{ m/s}$



ب) سطح مقطع راهباره  $300 \text{ mm}^2$ , سرعت مذاب  $0.35 \text{ m/s}$

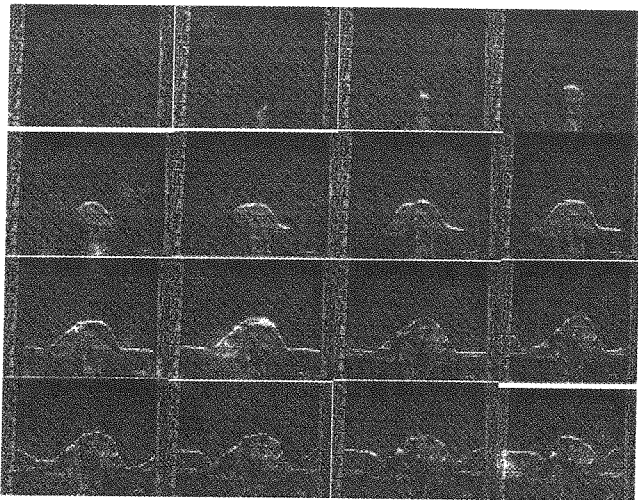


ج) سطح مقطع راهباره  $150 \text{ mm}^2$ , سرعت مذاب  $1 \text{ m/s}$



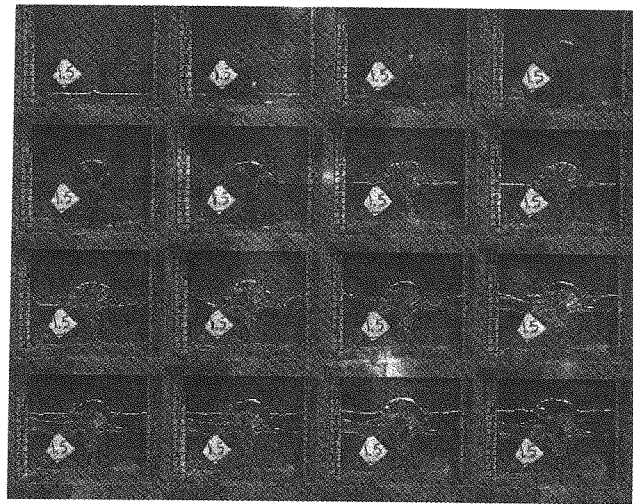
ج) سطح مقطع راهباره  $100 \text{ mm}^2$ , سرعت مذاب  $1/3 \text{ m/s}$

شکل ۵: شماتیک جت مذاب بداخل قالب در سرعت های اولیه مختلف ورود مذاب بداخل محفظه قالب



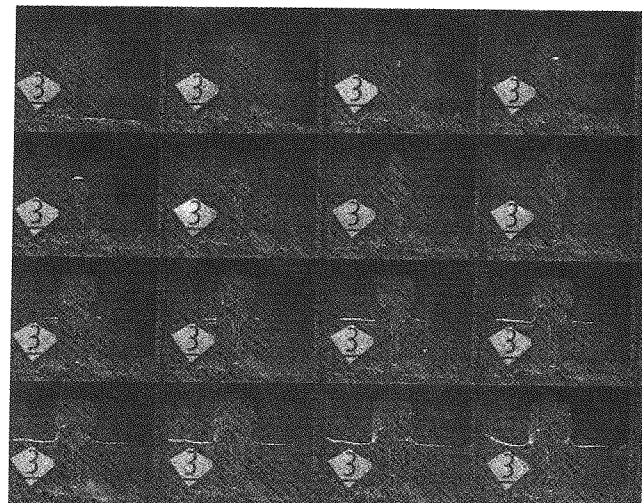
ج) تصاویر تجزیه شده از ذوب شماره ۴

سطح مقطع راهباره  $400 \text{ mm}^2$



ج) تصاویر تجزیه شده از ذوب شماره ۵

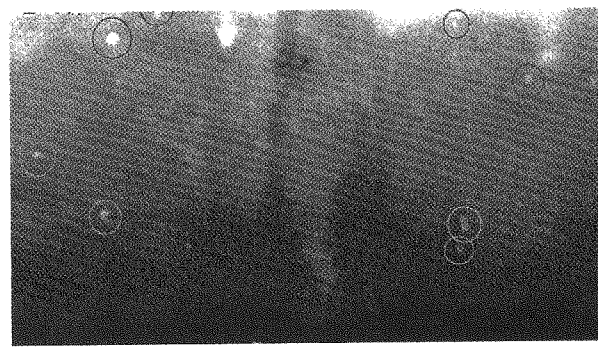
سطح مقطع راهباره  $150 \text{ mm}^2$



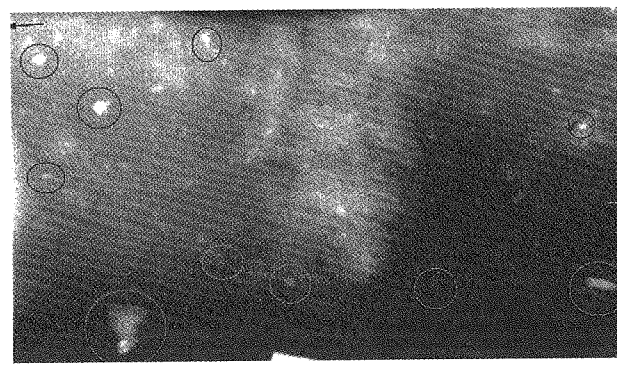
ج) تصاویر تجزیه شده از جت مذاب در ذوب شماره ۶

سطح مقطع راهباره  $100 \text{ mm}^2$

شکل (۴): تصاویر تجزیه شده از جت مذاب آلیاژ منیزیم بداخل قالب با ضخامت  $10 \text{ mm}$  با سطح مقطع راهباره مختلف

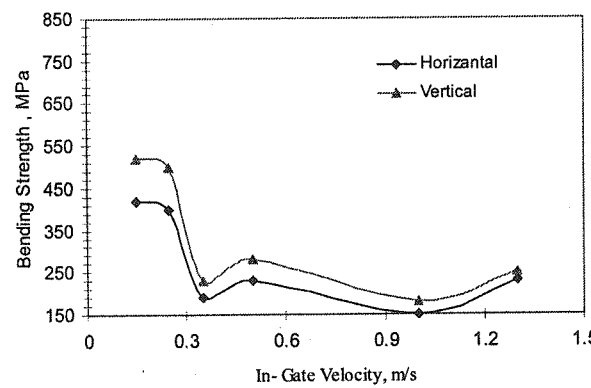


الف



ب

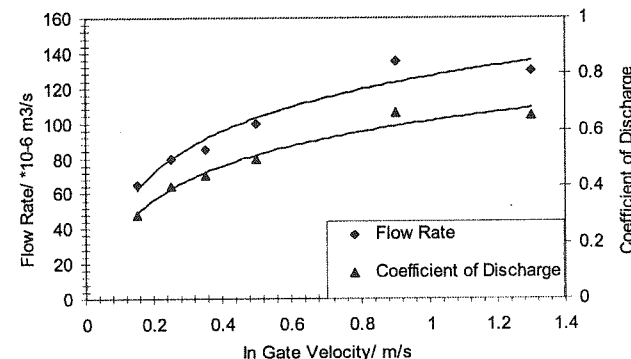
شکل (۸): تصاویر رادیوگرافی از صفحات ریخته شده نمونه های  
الف) شماره ۲ و ب) شماره ۴ در جدول ۳



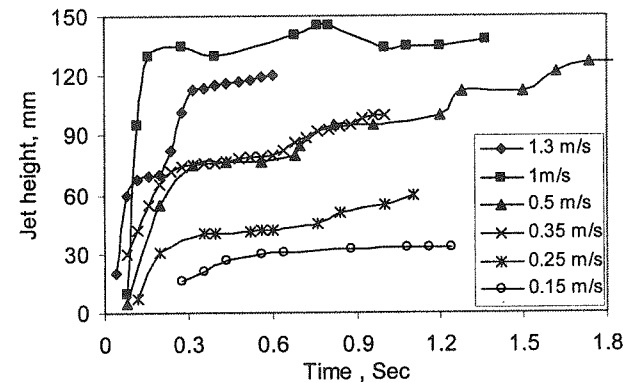
شکل (۹): نمودار نسبت استحکام خمی به سرعت ورود مذاب به  
داخل محفظه قالب در دو جهت افقی و عمودی

شکل ۱۰ - الف تصویر SEM از سطح شکست حاصل از آزمایش خمی نمونه ریخته شده از ذوب شماره ۶ را نشان می‌دهد. تصویر شامل حفره‌های انقباضی و فیلم‌های اکسیدی تاخورده بر روی دندربیت‌ها است. سطح دندربیت‌ها نیز بعلت دسترسی به هوا اکسید شده‌اند. آزمایش EDX نشان داده شده در شکل ۱۰-ب، درصد بالای اکسیژن را در نواحی حفره انقباضی نشان می‌دهد.

در جدول ۳، ضریب تخلیه بر اساس نسبت دبی واقعی به دبی تئوری مذاب در راهباره بدست آمد. عدد وبر در کلیه شرایط بر اساس سرعت واقعی مذاب محاسبه شد که در ستون آخر ملاحظه می‌شود. شکل ۶ تغییرات ضریب تخلیه و دبی جریان بر اساس سرعت ورود مذاب به قالب را نشان می‌دهد. با افزایش سرعت مذاب، دبی جریان افزایش یافته و مقدار اصطکاک کاسته می‌شود. تغییرات ارتفاع جت مذاب در قالب بر اساس زمان پر شدن در سرعت‌های مختلف ورود مذاب به قالب در شکل ۷ مشاهده می‌شود.



شکل (۶): اثر سرعت ورود مذاب به قالب بر دبی جریان و ضریب  
تخلیه مذاب آبیاز منیزیم در قالب کف ریز

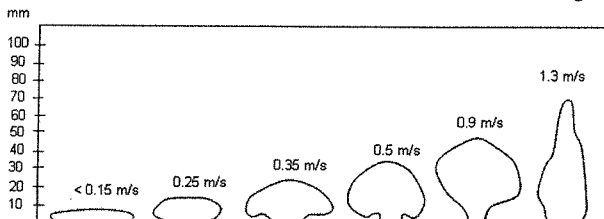


شکل (۷): نمودار ارتفاع-زمان پیشروی جبهه مذاب در قالب در  
سرعت‌های ورودی مختلف

شکل ۸ تصاویر رادیوگرافی از صفحات ریخته شده در سرعت‌های مختلف ورود مذاب به قالب را نشان می‌دهد. در این تصاویر تعداد و توزیع عیوب ریختگی ملاحظه می‌شود. در شکل ۹ نتایج حاصل از آزمایش خمی نمونه‌های ریخته شده در سرعت‌های مختلف در دو جهت افقی و عمودی ملاحظه می‌شود. نتایج نشان می‌دهد که خواص مکانیکی قطعات ریخته شده در سرعت‌های بالاتر از حدود  $0.3 \text{ m/s}$  به میزان ۵۰٪ کاهش می‌یابد. همچنین نتایج نشان می‌دهد که نمونه‌های عمودی نسبت به نمونه‌های افقی استحکام بیشتری دارند.

مورفولوژی جبهه مذاب ورودی به قالب قارچی شکل می‌شود (شکل ۵-ج). ستون مذاب تا اندازه مشخصی بالا می‌رود و پس از توقف، از روی کف قالب شروع به حرکت می‌کند. بعلت نیروی وزن ستون مذاب، لایه‌های بالایی مذاب بر روی لایه‌های زیرین مذاب سر می‌خوردند و موجب اختلاط فیلم‌های سطحی با مذاب می‌شوند. در سرعت‌های بالاتر، نزدیک ۱ m/s، مورفولوژی جت مذاب به شکل فورانی تغییر می‌کند (شکل ۵-د). بنابراین مذاب در یک خطر جدی ورود فیلم سطحی تاخورده به داخل مذاب در هنگام سقوط ستون مذاب به پایین قرار گرفته و قطعه پر از ترک می‌شود.

پروفیل مورفولوژی‌های متفاوت جت مذاب به داخل قالب در سرعت‌های مختلف ورود مذاب به قالب در شکل ۱۱ ملاحظه می‌شود. با افزایش سرعت مذاب، ارتفاع جت مذاب افزایش می‌یابد و شکل جبهه مذاب از لایه‌ای در سرعت‌های پایین به قارچی شکل و فواره‌ای در سرعت‌های بالاتر تغییر می‌کند و سطح مذاب ناپایدار می‌شود.



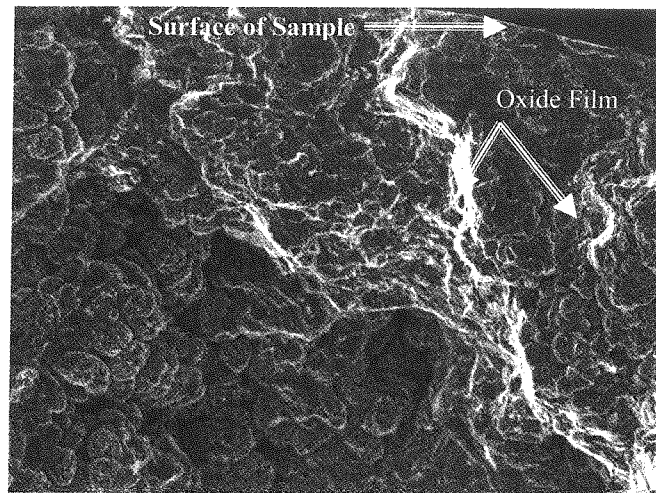
شکل (۱۱): پروفیل مورفولوژی جت مذاب در سرعت‌های مختلف ورود مذاب به محفظه قالب

ضریب تخلیه ناشی از اختلاف بین دبی حجمی واقعی با تئوری که در جدول ۳ مشاهده می‌شود، بدليل اصطکاک در سیستم راهگاهی است. هنگامی که مذاب از درون کanalی عبور می‌کند همواره تحت تاثیر عامل اصطکاک قرار می‌گیرد، در واقع برای معادله سرعت مذاب در لحظه ورود به قالب می‌توان ضریبی در نظر گرفت ( $f$  در معادله ۷)، محاسبات برای آلیاز منیزیم،  $f$  را در محدوده  $0.4 / ۰.۰ / ۰.۷$  نشان می‌دهد.

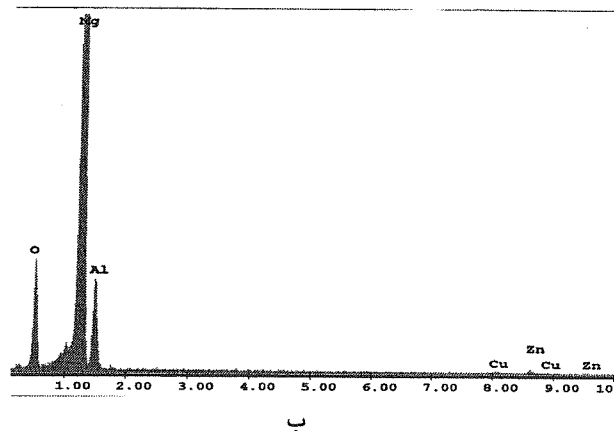
$$V = f \sqrt{2gh_e} \quad (7)$$

شکل ۷ نشان می‌دهد که در سرعت‌های واقعی کمتر از سرعت بحرانی ( $0.3 \text{ m/s}$ )، نمودار ارتفاع جت مذاب - زمان، حالت منظم و پایدار دارد و این نشان می‌دهد که در یک حالت پایدار، مذاب به آرامی قطعه را پر می‌کند، در حالی که در سرعت‌های بالاتر، آشفتگی سطحی موجب افزایش شبی نمودار شده و در ادامه روند نمودار، سطح مذاب دچار تلاطم و آشفتگی می‌شود.

با توجه به تصاویر شکل ۷ و ۹ به نظر می‌رسد که معیار سرعت بحرانی برای آلیاز منیزیم حدود  $0.3 \text{ m/s}$  باشد، که این نزدیک به سرعت بحرانی بدست آمده برای آلیاز آلومینیم در



الف



شکل (۱۰): الف) تصویر میکروسکوپ الکترونی از سطح شکست و ب) آنالیز EDX از سطح شکست

#### ۴- بحث و تحلیل نتایج

مشاهده مستقیم جریان مذاب در راهبار و حفره قالب اثبات می‌کند که با تغییر سرعت اولیه ورود مذاب بداخل قالب، هنسه جت مذاب آلیاز منیزیم (AZ91) تغییر می‌کند. محققین نشان دادند که برای کلیه مذاب فلزات یک محدوده سرعت بحرانی وجود دارد که بین  $0.3 / ۰.۰ / ۰.۵ \text{ m/s}$  است [۱۲-۱۱، ۲]. در سرعت‌های کمتر از  $0.2 \text{ m/s}$  (شکل ۵-الف)، جریان مذاب آرام و با یک جبهه مسطح وارد قالب می‌شود و سپس بر روی کف قالب گسترده شده و بشکل لامینار، کل محفظه قالب را پر می‌کند. در این حالت هیچ گونه آثاری از اختلاط لایه سطحی با مذاب مشاهده نمی‌شود. در سرعت  $0.25 \text{ m/s}$  (شکل ۵-ب)، سطح جبهه مذاب در لحظه ورود به قالب قوسی شکل است. مذاب بشکل مسطح در قالب گسترده شده و آرام قالب را پر می‌کند. در این حالت اثری از اختلاط لایه اکسید سطحی با مذاب وجود ندارد در هنگام پر شدن قالب، ناهمواری‌های سطحی مشاهده می‌شود در سرعت‌های بالاتر،

## ۵- نتیجه گیری

۱. سرعت بحرانی برای آلیاژهای منیزیم در شرایط قالبی با ضخامت ۱۰ میلیمتر در حدود  $3/10 \text{ m/s}$  تعیین می‌شود.
۲. در سرعت‌های پایینتر از سرعت بحرانی، مورفولوژی جت مذاب بشکل لایه‌ای است و با افزایش سرعت نزدیک به سرعت بحرانی، بشکل قارچی تغییر می‌یابد و در سرعت‌های بالاتر تبدیل به شکل فواره‌ای خواهد شد.
۳. خواص مکانیکی در سرعت‌های بالاتر از سرعت بحرانی حدوداً ۵۰٪ تنزل می‌نماید.

## ۶- مراجع

- J. Runyoro, S. M. Bouterabi and J. Campbell, *Critical Velocities for Film-Forming Casting Alloys*, AFS Trans., 92-100, 225-234, 1992.
- N. R. Green and J. Campbell, *Influence of Oxide Film Filling Defects on the Strength of Al-7Si-Mg Alloy Castings*, AFS Trans., 94114 , 341-347 1994.
- A. Halvaei and J. Campbell, *Critical Mold Entry Velocity for Aluminum Bronze Casting*, AFS, 9718 35-46, 1997.
- J. Campbell, *Casting*, Oxford, Butterworth, Heinemann. 2003.
- J. Campbell, *The New Metallurgy of Cast Metals*, Materials Science and Tech., Vol. 4, 194-204. 1998.
- X. Yang, M. Jolly and J. Campbell, *Minimization of Surface Turbulence During Filling Using a Vortex-Flow Runner*, Aluminum Trans., 2, 67-80 2000
- J. Campbell, *Ten Rules in Casting*, Oxford, Butterworth, Heinemann, 2003.
- M. Divandari, PhD Thesis, University of Birmingham, 2001, 12 -16.
- E. F. Emely, *Principles of Magnesium Technology*, Pergamon Press, 1966.
- A. W. Brace and F. A. Allen, *Magnesium Casting Technology*, Chapman & Hall Ltd, 1957.
- F. Bahrinian. S.M.A. Bouterabi and J. Campbell, *Critical Gate Velocity for Magnesium Casting Alloy (ZK51A)*, the June Campbell Symposium, TMS, 48 , 2005.
- K. Grube and L. W. Eastwood, AFS Transactions, 76 107, 1950
- S. Suzuki, Modern Casting, October 38 40 1989
- C. Nyahamwa, N. R. Green and J. Campbell, *Effect of Mold-Filling Turbulence of Fatigue Properties of Cast Aluminum Alloys*, AFS Trans.,106, 215-223, 1998
- ASTM Standard, E 290-97a, 2000. Standard Test Method Bend testing of Material and ductility.
- J. Campbell, *Invisible Macrodefects in Castings*, de Physique IV Colloque C7 supplement au Journal de Physique III, Vol. 3, November 1993.
- N. R. Green and J. Campbell, *Statistical Distributions of Fracture Strengths of Cast Al-7Si-Mg Alloy*, Materials Science and Eng., A 173, 261-266, 1993.
- H. E. Elliott and J. G. Mezoff, *A New Gating Technique for Magnesium*, 1950, 241- 252.
- [۱] خواص مکانیکی صفحات ریخته شده در سرعت‌های بالاتر از  $3/10 \text{ m/s}$  با شبیه تندی به میزان ۵۰٪ کاهش می‌یابد. به نظر می‌رسد که کاهش سریع خواص در این محدوده سرعت ریخته‌گری، نتیجه اغتشاش و اختلاط لایه اکسید با مذاب باشد.
- [۲] در اثر تلاطم و تغییر مورفولوژی مذاب در هنگام ورود به قالب، فیلم اکسید سطحی بداخل مذاب وارد می‌شود. گزارش شده است که میزان کاهش خواص مکانیکی در سرعت‌های بالاتر از بحرانی، قابل پیش بینی نیست و پراکنگی نتایج از مشخصات دیگر ریخته‌گری متلاطم است [۲]. [۱۸]. اندازه گیری خواص مکانیکی صفحات ریختگی در دو جهت افقی و عمودی نشان داد که جهت نمونه برداری در آزمایش مکانیکی قطعات ریختگی در تعیین خواص مکانیکی قطعه نقش مهمی دارد.
- [۳] همانطور که در شکل ۷ ملاحظه می‌شود، خواص مکانیکی نمونه‌های عمودی بالاتر از نمونه‌های افقی هستند. فیلم‌های اکسید تشکیل شده در محفظه قالب بعلت اینکه در زمان های خیلی کوتاه تشکیل شده‌اند، ضخامت‌شان بسیار کم است. به همین دلیل توسط هیچ یک از آزمایش‌های غیر مخرب قابل شناسایی نیست. تصاویر رادیوگرافی از صفحات ریخته شده در سرعت‌های مختلف ورود مذاب (شکل ۸) نشان می‌دهد که توزیع عیوب ماکرو ریختگی در نمونه های ریخته شده در سرعت‌های بالاتر از سرعت بحرانی به نسبت بیشتر از نمونه‌های ریخته شده در سرعت‌های پایین است. این عیوب دارای طبیعت تصادفی هستند. زیرا مکان تشکیل آنها را نمی‌توان پیش بینی کرد. در ریخته‌گری سیستم کف رین، بعلت اینکه انجماد از دورترین محل به راهباره شروع می‌شود و آخرین منطقه انجماد، نزدیک راهباره قرار دارد [۱۹]. بیشتر عیوب انقباضی در این محل متمرکز هستند و تشکیل یک سطح ضعیف در قطعه می‌دهند.
- [۴] [۵]
- [۶] [۷]
- [۸] [۹]
- [۱۰] [۱۱]
- [۱۲] [۱۳]
- [۱۴] [۱۵]
- [۱۶] [۱۷]
- [۱۸]

شرایط یکسان است [۱]. نتایج سرعت بحرانی در سایر آلیاژها اثبات می‌کند که مقادیر بدست آمده بسیار به هم نزدیکند. با مطالعه تئوری سرعت بحرانی (معادله ۳) ملاحظه می‌شود که سرعت مذاب بستگی به جذر نسبت تنش سطحی به دانسته مذاب فلز دارد که با توجه به اینکه این نسبت عدد کوچکی است، بنابراین جذر آن یک عدد بسیار کوچکی می‌شود. جدول ۴ مقادیر این نسبت را برای چند آلیاژ نشان می‌دهد.

جدول (۴): مقایسه نسبت تنش سطحی به دانسته برای مذاب فلزات مختلف

Alloy	Mg	Al	Cu-10Al
$\gamma (\text{nm}^{-1})$	0.5	1	1.5
$(\gamma/\rho)^{0.5}$	0.018	0.019	0.014
$V_t (\text{m/s})$	0.3	0.5	0.275